

## (25) 焼結装置の理論圧量特性

新日本製鉄宜蘭製鉄所 遠藤幸平 柴田充哉  
 〇石 山和雄 今野乃光

### I. 緒言

鉄鉱石の焼結機は、近年多くの理論的な検討が進められ、その数学的モデルのツミミレーションの精度も向上して、次第にその操業解析が明らかになって来つつある。<sup>1)2)</sup> しかしながら、焼結設備全体としてとらえたマクロ的な装置特性については、ほとんど検討されていないのが現状である。ここでは、焼結過程の特性に着目して、装置全体としての圧量特性を理論的に検討した。

### II. 解析結果

#### 1. 焼結過程の特性

- ① 焼結過程の進行速度  $U_{ij} = -dY_{ij}/d\theta = C_i G_j(x_i)$  -----
- ② 焼結層の圧損  $dP_{ij} = b_i G_j^{\alpha}(x) Y_0 y_{ij}(x_j)$  -----
- ③ 焼結設備の特性  $d(dP_{ij}(x_j)/dx_j) = 0$  -----

#### 2. 圧量分布方程式およびその理論解<sup>3)</sup>

$$\alpha \cdot \frac{dG_j(x_i)}{dx_j} \int_0^{x_j} G_j(x_j) dx_j + G_j^{\alpha}(x_j) + \alpha A_j V Y_0 \cdot \frac{dG_j(x_i)}{dx_j} = 0$$
 ----- ④

理論解  $G_j(x_j) = \left(\frac{-1}{\alpha+1}\right)^{\frac{1}{\alpha+1}} \cdot \left\{ \frac{-1}{\alpha A_j V Y_0} [-(\alpha+1) \cdot \lambda_j]^{\frac{\alpha}{\alpha+1}} \cdot x_j + \lambda_j \right\}^{\frac{\alpha}{\alpha+1}}$  ----- ⑤

$$A_j = -\left(\sum_{i=1}^j b_i \Delta r_{i,j} / \sum_{i=1}^j b_i \cdot (C_i - C_{i-1})\right)$$
 ----- ⑥

$$X_j = \frac{\alpha}{\alpha+1} A_j V Y_0 \left\{ \left[ \frac{Y_{i,j-1}}{C_j A_j} + 1 \right]^{\frac{\alpha+1}{\alpha}} - 1 \right\} \cdot [-(\alpha+1) \cdot \lambda_j]^{\frac{\alpha}{\alpha+1}}$$
 ----- ⑦

#### 3. 総圧量決定方程式

圧量バランスから  $G_0 = \sum_{j=1}^n B_0 \int_0^{X_j} G_j(x_j) dx_j$  ----- ⑧

パレット部分からの侵入圧量は  $W \cdot B$  圧カヒの同様に  $G_{is} = \rho S E_s \sqrt{\Delta P_0}$  ----- ⑨

の関係があるものとすれば、総圧量は ⑤ ⑧ ⑨ 式より

$$G_T = B_0 \sum_{j=1}^n \left(\frac{\alpha+1}{\alpha}\right) \cdot \left\{ \left(\frac{\alpha+1}{\alpha}\right) \frac{-1}{A_j V Y_0} \left[ \frac{f(G_T)}{\sum_{i=1}^j b_i \Delta r_{i,j-1} Y_0} \right]^{\alpha} \cdot X_j + \left[ \frac{f(G_T)}{\sum_{i=1}^j b_i \Delta r_{i,j-1} Y_0} \right]^{\frac{\alpha(\alpha+1)}{\alpha}} \right\}^{\frac{\alpha}{\alpha+1}} - B_0 \sum_{j=1}^n \left(\frac{\alpha+1}{\alpha}\right) \cdot \left[ \frac{f(G_T)}{\sum_{i=1}^j b_i \Delta r_{i,j-1} Y_0} \right]^{\alpha} + \rho S E \cdot \sqrt{f(G_T)}$$
 ----- ⑩

#### 4. 全焼結層の理論抵抗曲線

焼結層の抵抗は、パレットスピードによる変化があるが、ここでは

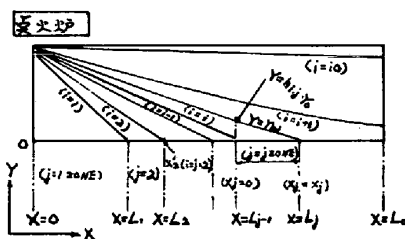
図-1において  $L_s = \sum_{j=1}^n X_j = L_0$  の場合で求めると

$$\Delta P_0 = \left(\frac{\alpha}{\alpha+1}\right)^{\alpha} Y_0 \cdot \left(\frac{G_0}{B_0 L_0}\right)^{\alpha} \left\{ \frac{\sum_{j=1}^n [A_j \left\{ \left(\frac{Y_{i,j-1}}{C_j A_j} + 1\right)^{\frac{\alpha+1}{\alpha}} - 1 \right\}] \left[ \sum_{i=1}^j (r_{i,j-1} - r_{i-1,j-1}) \cdot b_i \right]^{\frac{\alpha}{\alpha+1}}}{\sum_{j=1}^n r_{i,j-1} / C_j} \right\}^{\frac{\alpha}{\alpha+1}}$$
 ----- ⑪

### III. ま と め

全焼結層の抵抗曲線は、従来操業因子との関連で求められた例はないが、圧量分布の理論解を用いることにより ⑪ 式のように表式化が可能になった。その特徴は、反損は層高の一次に、単位面積当りの吸引圧量の $\alpha$ 乗に比例し、またそれに原料条件、焚火炉等の条件より決定される操業因子項の積として求められる。

図-1 焼結層の断面図



#### 使用記号

- $b_i$ :  $i$  過程の通風抵抗の比例係数
- $C_i$ :  $i$  過程の進行速度の比例係数
- $G_j$ :  $j$  ゾーンにおける吸引圧量
- $r_{i,j}$ :  $j$  ゾーンでの  $i$  過程の無次元座標
- $Y_{ij}$ :  $j$  ゾーンでの  $i$  過程の層高方向距離
- $dP_{ij}$ :  $j$  ゾーンでの  $i$  過程の通風圧損
- $\alpha$ : 通風抵抗に関する係数
- $\Delta r_{i,j}$ : 無次元距離 (=  $r_{i,j} - r_{i-1,j}$ )
- $X_j$ :  $j$  ゾーンでの  $X$  方向距離
- $V$ : 層高
- $B_0$ : パレット巾
- $\lambda_j$ : 積分定数
- $G_0, G_T$ : 有効圧量, 総圧量
- $f(G_T)$ : フローの性能曲線
- $SE$ : 間隙面積
- $\rho$ : 抵抗係数

#### 文 献

- 1) 鞍 塚 口; 鉄心鋼 56 (1970) P391
- 2) 畑 山 植 樹 岡 部; 鉄心鋼 58 P1567
- 3) 牧野 遠藤 柴田; 鉄心鋼 62 P1567